

**КРИСТАЛІЧНА СТРУКТУРА ЗМІШАНИХ ФЕРИТІВ
 РІДКІСНОЗЕМЕЛЬНИХ ЕЛЕМЕНТІВ
 $\text{Pr}_{0.5}R_{0.5}\text{FeO}_3$ ($R = \text{Nd, Gd, Tb, Dy, Ho}$)**

© Павловська О. Б., Василечко Л. О., 2016

У роботі досліджено фазовий склад та кристалічну структуру нових змішаних феритів рідкісноzemельних елементів $\text{Pr}_{0.5}R_{0.5}\text{FeO}_3$ ($R = \text{Nd, Gd, Tb, Dy, Ho}$), отриманих методом твердофазного синтезу. Встановлено, що всі синтезовані зразки мають ромбічну структуру перовськіту типу GdFeO_3 . Структурні параметри змішаних феритів РЗЕ, отримані повнопрофільним методом Рітвельда, добре узгоджуються з даними для “чистих” сполук PrFeO_3 та $R\text{FeO}_3$, що вказує на можливість утворення безперервних твердих розчинів $\text{Pr}_{1-x}R_x\text{FeO}_3$ у системах $\text{PrFeO}_3 - R\text{FeO}_3$ ($R = \text{Nd, Gd, Tb, Dy, Ho}$).

Ключові слова: ферити РЗЕ, перовськіт, порошкова дифракція, кристалічна структура, тверді розчини.

O. Pavlovska, L. Vasylechko,
 Lviv Polytechnic National University

**CRYSTAL STRUCTURE OF THE MIXED RARE EARTH FERRITES
 $\text{Pr}_{0.5}R_{0.5}\text{FeO}_3$ ($R = \text{Nd, Gd, Tb, Dy, Ho}$)**

© Pavlovska O., Vasylechko L., 2016

The work deals with the study of the phase composition and crystal structure of new mixed ferrites $\text{Pr}_{0.5}R_{0.5}\text{FeO}_3$ ($R = \text{Nd, Gd, Tb, Dy, Ho}$) obtained by solid state reactions technique. It was established that all samples synthesized adopt orthorhombic perovskite structure isotropic with GdFeO_3 . Unit cell dimensions and atomic coordinates of the mixed rare earth ferrites derived by full profile Rietveld refinement technique agree well with the data of the “pure” PrFeO_3 and $R\text{FeO}_3$ compounds, thus proving formation of continuous solid solutions $\text{Pr}_{1-x}R_x\text{FeO}_3$ in the $\text{PrFeO}_3 - R\text{FeO}_3$ systems ($R = \text{Nd, Gd, Tb, Dy, Ho}$).

Key words: rare-earth ferrites, perovskite, powder diffraction, crustal structure, solid solutions.

Вступ

Інтерес до феритів рідкоземельних елементів (РЗЕ) стимулюється їхніми унікальними властивостями, такими як висока електропровідність, специфічні магнітні властивості, серед яких спін-переорієнтаційні явища та атиферомагнітні переходи, а також значна електрохімічна і каталітична активність [1, 2]. Ці сполуки володіють ромбічною перовськітною структурою типу GdFeO_3 . Сполуки $R\text{FeO}_3$ можна отримати різними способами, зокрема методом твердофазного синтезу, гідротермальним синтезом, золь-гель методом та методом осадження [3]. Матеріали на основі феритів РЗЕ використовуються як електроди в твердооксидних паливних елементах, каталізатори, газові сенсори та спінові клапани. Також вони можуть використовуватися в магнітооптичних матеріалах та напівпровідниковій кераміці [4–6]. Відомо, що в твердому розчині $\text{Pr}_{1-x}\text{La}_x\text{FeO}_3$ спостерігається явище перетину параметрів елементарних комірок (lattice crossover) та утворення розмірно-тетрагональних (псевдотетрагональних) структур. Як результат, у цій системі спостерігаються дві області із різним співвідношенням параметрів елементарної комірки до і після перетину параметрів елементарної комірки [7].

Метою роботи є синтез та дослідження твердих розчинів $\text{Pr}_{0,5}\text{Nd}_{0,5}\text{FeO}_3$, $\text{Pr}_{0,5}\text{Gd}_{0,5}\text{FeO}_3$, $\text{Pr}_{0,5}\text{Tb}_{0,5}\text{FeO}_3$, $\text{Pr}_{0,5}\text{Dy}_{0,5}\text{FeO}_3$, $\text{Pr}_{0,5}\text{Ho}_{0,5}\text{FeO}_3$ для встановлення впливу катіонного заміщення на параметри кристалічних структур.

Експериментальна частина

Для отримання змішаних ферітів з номінальним складом $\text{Pr}_{0,5}R_{0,5}\text{FeO}_3$ ($R = \text{Nd}, \text{Gd}, \text{Tb}, \text{Dy}, \text{Ho}$) використано метод твердофазного синтезу. Вихідні оксиди Pr_6O_{11} , Nd_2O_3 , Gd_2O_3 , Tb_2O_3 , Dy_2O_3 , Ho_2O_3 та Fe_2O_3 взято в стехіометричних співвідношеннях та ретельно перетерті в агатовій ступці, після чого помелено в кульовому млині планетарного типу в етанолі протягом 5 годин. Усереднені суміші оксидів висушені та спресовано в таблетки для кращої взаємодії реагентів. Відпал зразків $\text{Pr}_{0,5}\text{Nd}_{0,5}\text{FeO}_3$, $\text{Pr}_{0,5}\text{Gd}_{0,5}\text{FeO}_3$, $\text{Pr}_{0,5}\text{Tb}_{0,5}\text{FeO}_3$ здійснено в печі на повітрі за температури 1473 К протягом 20 год, для зразків $\text{Pr}_{0,5}\text{Dy}_{0,5}\text{FeO}_3$ та $\text{Pr}_{0,5}\text{Ho}_{0,5}\text{FeO}_3$ відпал за температури 1773 К тривав 30 год. Після відпалу зразки були повільно охолоджені до кімнатної температури упродовж 20 год.

Для дослідження фазового складу та кристалічної структури нових твердих розчинів використано дифрактометр Гіньє G670, обладнаний *Huber imaging plate* детектором ($\text{Cu } K_{\alpha 1}$ випромінювання, $\lambda = 1,54056 \text{ \AA}$). Рентгенофазовий аналіз проведено за допомогою методу порівняння отриманих експериментальних дифракційних даних з еталонними даними. Для структурного аналізу експериментальних даних використано пакет програм WinCSD [8], в якому реалізовано метод Рітвельда, що дає можливість отримати дані про структуру кристалічних матеріалів, а саме про розміри елементарної комірки, координати атомів та параметри зміщення атомів.

Результати досліджень

Згідно з результатами рентгенофазного та рентгеноструктурного аналізу всі синтезовані зразки мають ромбічну структуру первовськіту типу GdFeO_3 . Жодних паразитних фаз не виявлено.

Використовуючи експериментальні порошкові рентгенівські дифрактограми, повнопрофільним методом Рітвельда визначено параметри кристалічної структури всіх синтезованих зразків $\text{Pr}_{0,5}R_{0,5}\text{FeO}_3$ ($R = \text{Nd}, \text{Gd}, \text{Tb}, \text{Dy}, \text{Ho}$). Уточнення структурних параметрів, здійснене в просторовій групі $Pbnm$, привело до хорошого узгодження між експериментальними та теоретичними дифрактограмами. Графічні результати такого уточнення наведено на прикладі сполук $\text{Pr}_{0,5}\text{Gd}_{0,5}\text{FeO}_3$ та $\text{Pr}_{0,5}\text{Dy}_{0,5}\text{FeO}_3$ (рис. 1), подано експериментальні та розраховані дифрактограми (точки та суцільні лінії, відповідно), а також різницеві криві (внизу рисунків). Короткі вертикальні лінії під дифрактограмами вказують на положення дифракційних максимумів у відповідних структурах.

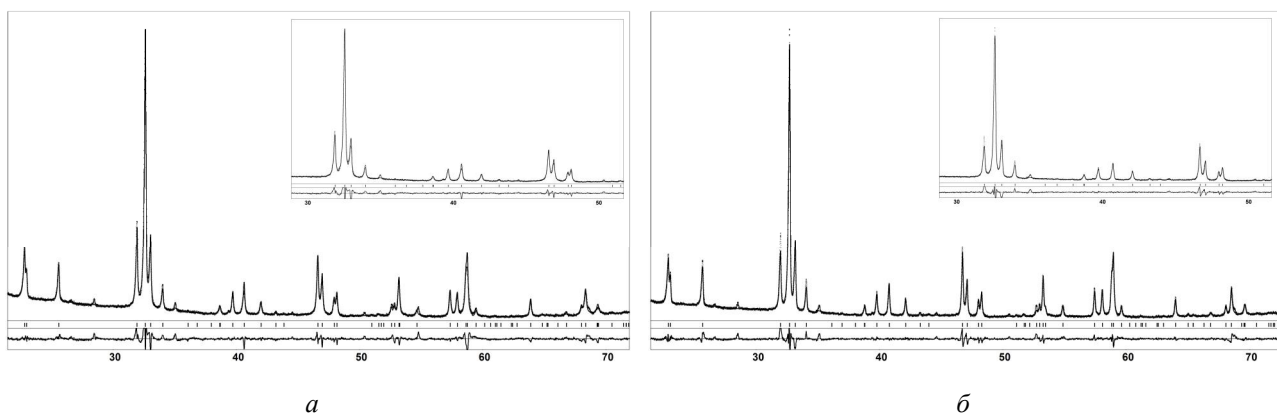


Рис. 1. Графічні результати уточнення кристалічної структури зразків $\text{Pr}_{0,5}\text{Gd}_{0,5}\text{FeO}_3$ (а) та $\text{Pr}_{0,5}\text{Dy}_{0,5}\text{FeO}_3$ (б) повнопрофільним методом Рітвельда

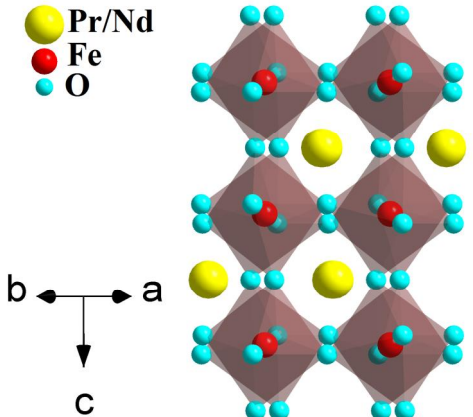
Отримані параметри елементарної комірки, координати та параметри зміщення атомів у структурах $\text{Pr}_{0.5}\text{R}_{0.5}\text{FeO}_3$ ($\text{R} = \text{Nd}, \text{Gd}, \text{Tb}, \text{Dy}, \text{Ho}$) подано в таблиці.

Параметри елементарних комірок, координати та параметри зміщення атомів у структурах $\text{Pr}_{0.5}\text{R}_{0.5}\text{FeO}_3$ ($\text{R} = \text{Nd}, \text{Gd}, \text{Tb}, \text{Dy}, \text{Ho}$)

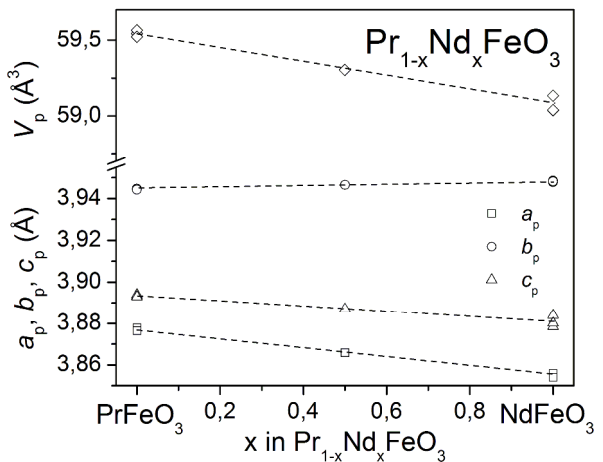
Атоми, позиція		$R = \text{Nd}$	$R = \text{Gd}$	$R = \text{Tb}$	$R = \text{Dy}$	$R = \text{Ho}$
	$a, \text{\AA}$	5,46713(6)	5,41500(8)	5,4075(1)	5,39626(7)	5,38213(5)
	$c, \text{\AA}$	5,58123(6)	5,59694(8)	5,5927(1)	5,59327(7)	5,59377(5)
	$b, \text{\AA}$	7,77407(8)	7,7279(1)	7,7180(2)	7,70950(10)	7,69972(6)
	$V, \text{\AA}^3$	237,213(7)	234,21(1)	233,41(2)	232,694(9)	231,811(6)
$\text{Pr}(\text{R}),$ $4c$	x	-0,0073(3)	-0,0072(4)	-0,0083(5)	-0,0098(3)	-0,0137(2)
	y	0,0469(1)	0,0515(2)	0,0529(2)	0,0560(2)	0,0578(1)
	z	1/4	1/4	1/4	1/4	1/4
	$B_{\text{iso}}, \text{\AA}^2$	0,47(2)	0,67(3)	0,61(3)	0,48(3)	0,56(2)
$\text{Fe},$ $4b$	x	0	0	0	0	0
	y	1/2	1/2	1/2	1/2	1/2
	z	0	0	0	0	0
	$B_{\text{iso}}, \text{\AA}^2$	0,87(4)	1,58(6)	1,58(6)	0,69(5)	0,41(4)
$\text{O1},$ $4c$	x	0,0912(15)	0,080(2)	0,097(2)	0,075(2)	0,0684(13)
	y	0,4720(13)	0,480(2)	0,481(2)	0,4749(14)	0,4508(11)
	z	1/4	1/4	1/4	1/4	1/4
	$B_{\text{iso}}, \text{\AA}^2$	1,5(2)	1,4(3)	1,0(3)	0,6(3)	1,7(2)
$\text{O2},$ $8d$	x	-0,3014(11)	-0,2867(15)	-0,3127(14)	-0,2935(13)	-0,3227(9)
	y	0,2774(12)	0,3433(12)	0,3108(14)	0,2966(13)	0,2951(10)
	z	0,0508(8)	0,0493(10)	0,0470(11)	0,0593(8)	0,0569(7)
	$B_{\text{iso}}, \text{\AA}^2$	1,2(2)	1,0(4)	0,4(2)	1,3(2)	2,13(15)

На рис. 2, *a* зображена кристалічна структура твердого розчину $\text{Pr}_{0.5}\text{Nd}_{0.5}\text{FeO}_3$, побудована на основі даних, наведених у таблиці.

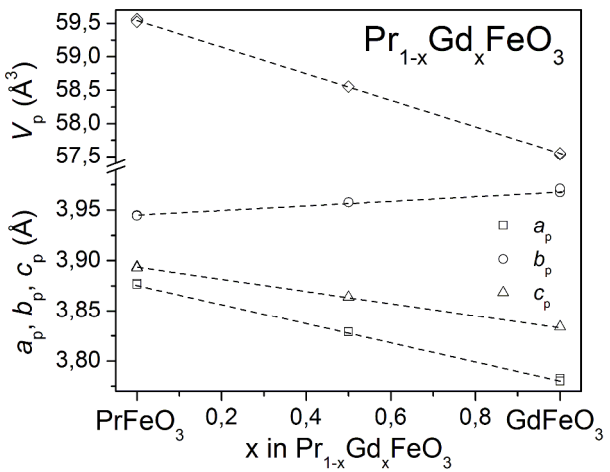
За результатами уточнення структур методом Рітвельда побудовано концентраційні залежності параметрів та об'ємів елементарних комірок синтезованих змішаних феритів $\text{Pr}_{0.5}\text{Nd}_{0.5}\text{FeO}_3$, $\text{Pr}_{0.5}\text{Gd}_{0.5}\text{FeO}_3$, $\text{Pr}_{0.5}\text{Tb}_{0.5}\text{FeO}_3$, $\text{Pr}_{0.5}\text{Dy}_{0.5}\text{FeO}_3$ та $\text{Pr}_{0.5}\text{Ho}_{0.5}\text{FeO}_3$. Для порівняння наведено також літературні дані для сполук PrFeO_3 , NdFeO_3 , GdFeO_3 , TbFeO_3 , DyFeO_3 та HoFeO_3 . Параметри ромбічної елементарної комірки приведені до перовськітної, відповідно до співвідношень: $a_p=a_o/\sqrt{2}$, $b_p=b_o/\sqrt{2}$, $c_p=c_o/2$, $V_p=V_o/4$.



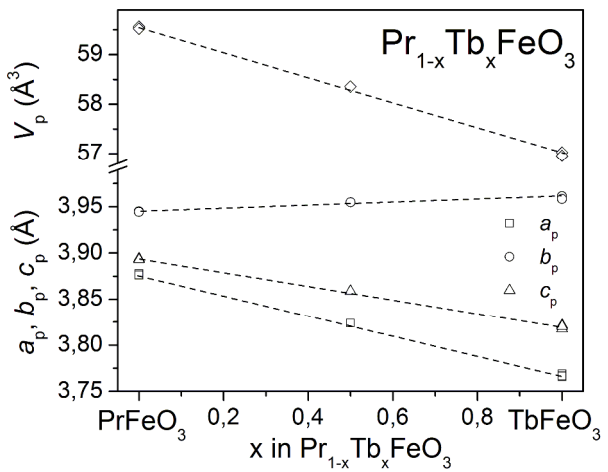
a



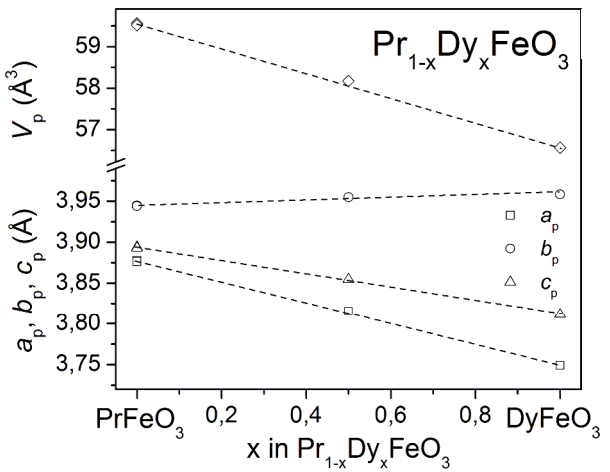
b



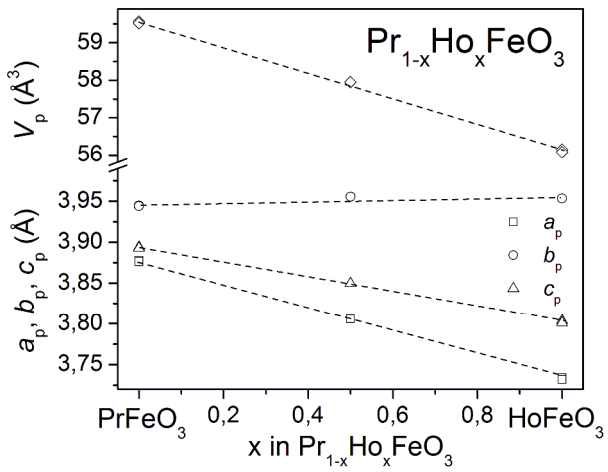
c



d



e



f

Рис. 2. Ромбічна структура твердого розчину $\text{Pr}_{0.5}\text{Nd}_{0.5}\text{FeO}_3$ (a). Концентраційні залежності параметрів та об'ємів елементарних комірок у системах $\text{PrFeO}_3\text{-NdFeO}_3$ (b), $\text{PrFeO}_3\text{-GdFeO}_3$ (c), $\text{PrFeO}_3\text{-TbFeO}_3$ (d), $\text{PrFeO}_3\text{-DyFeO}_3$ (e), $\text{PrFeO}_3\text{-HoFeO}_3$ (f)

З графіків концентраційних залежностей видно, що отримані дані для зразків $\text{Pr}_{0.5}\text{R}_{0.5}\text{FeO}_3$ ($\text{R} = \text{Nd}, \text{Gd}, \text{Tb}, \text{Dy}, \text{Ho}$) добре узгоджуються із літературними даними для “чистих” сполук, що свідчить про можливість утворення неперервних твердих розчинів заміщення. Зауважимо, що в

жодному досліджуваному твердому розчині $\text{Pr}_{1-x}\text{R}_x\text{FeO}_3$ ($\text{R} = \text{Nd}, \text{Gd}, \text{Tb}, \text{Dy}, \text{Ho}$) не передбачається явища перетину елементарних комірок, яке спостерігається у системі $\text{Pr}_{1-x}\text{La}_x\text{FeO}_3$. Об'єми елементарних комірок змінюються згідно з правилом Вегарда: зменшуються лінійно зі зменшенням радіуса катіона РЗЕ.

Висновки

Методом рентгенівської порошкової дифракції досліджено фазовий склад та кристалічну структуру сполук $\text{Pr}_{0.5}\text{R}_{0.5}\text{FeO}_3$ ($\text{R} = \text{Nd}, \text{Gd}, \text{Tb}, \text{Dy}, \text{Ho}$), отриманих методом твердофазного синтезу на повітрі. Використовуючи рентгенофазовий та рентгеноструктурний аналіз, показано, що усіх синтезованих зразках ромбічна перовськітна структура типу GdFeO_3 . Використовуючи повнопрофільний метод Рітвельда, встановлені параметри та об'єми елементарних комірок, а також координати атомів у всіх структурах. На основі отриманих результатів побудовано концентраційні залежності параметрів елементарних комірок фаз $\text{Pr}_{0.5}\text{R}_{0.5}\text{FeO}_3$ ($\text{R} = \text{Nd}, \text{Gd}, \text{Tb}, \text{Dy}, \text{Ho}$) порівняно із параметрами “чистих” сполук RFeO_3 . Показано, що отримані експериментальні дані для змішаних феритів $\text{Pr}_{0.5}\text{R}_{0.5}\text{FeO}_3$ добре узгоджуються зі структурними даними для крайніх членів систем $\text{PrFeO}_3 - \text{RFeO}_3$ ($\text{R} = \text{Nd}, \text{Gd}, \text{Tb}, \text{Dy}, \text{Ho}$), з чого можна передбачити можливість утворення неперервних твердих розчинів заміщення.

Подяка

Робота виконана за сприяння Міністерства освіти і науки України (Проект “RZE”) та гранту ICDD.

1. Pinto H., Shaked H. Long wavelength neutron diffraction study of the magnetic structures of PrFeO_3 and NdFeO_3 , Solid State Comm. 1972. N 10. P. 663–665.
2. Slawinski W., Przenioslo R., Sosnowska I., Suard E. Spin reorientationand structural changes in NdFeO_3 , J Phys Condens Matter, 2005. N 17. P. 4605–4614.
3. Shivakumara C. Low temperature synthesis and characterization of rare earth orthoferrites LnFeO_3 ($\text{Ln} = \text{La}, \text{Pr}$ and Nd) from molten NaOH flux, Solid State Comm. 2006. N 139. P. 165–169.
4. Sun C., Hui R., Roller J. Cathode materials for solid oxide fuel cells: a review, J Solid State Electrochem. 2010. N 4. P. 1125–1144.
5. Ciambelli P., Cimino S. De Rossi S., A FeO_3 ($\text{A} = \text{La}, \text{Nd}, \text{Sm}$) and La $\text{Fe}_{1-x}\text{Mg}_x\text{O}_3$ perovskites as methane combustion and CO oxidation catalysts: structural, redox and catalytic properties // Appl Catal B: Environmental. 2001. N 29. P. 239–250.
6. Ding J., Lü X., Shu H., Xie J., Zhang H. Microwave-assisted synthesis of perovskite ReFeO_3 ($\text{Re}: \text{La}, \text{Sm}, \text{Eu}, \text{Gd}$) photocatalyst // Mater Sci Eng B. 2010. N 171. P. 31–34.
7. Павловська О. Б., Васileчко Л. О. Кристалічна структура твердих розчинів $\text{La}_{1-x}\text{R}_x\text{FeO}_3$ ($\text{R} = \text{Pr}, \text{Nd}$) // Вісник Національного університету “Львівська політехніка”. 2016. N 818. P. 250–255.
8. Akselrud L., Grin Yu., Win CSD: software package for crystallographic calculations (Version 4). J. Appl. Cryst. 2014. N 47. P. 803–805.

References

1. Pinto H., Shaked H. Long wavelength neutron diffraction study of the magnetic structures of PrFeO_3 and NdFeO_3 , Solid State Comm, 1972 – 10, P. 663 – 665.
2. W. Slawinski, R. Przenioslo, I. Sosnowska, E. Suard, Spin reorientationand structural changes in NdFeO_3 , J Phys Condens Matter, 2005 – 17, P. 4605–4 614.
3. C. Shivakumara, Low temperature synthesis and characterization of rare earth orthoferrites LnFeO_3 ($\text{Ln} = \text{La}, \text{Pr}$ and Nd) from molten NaOH flux, Solid State Comm, 2006 – 139, P. 165–169.
4. C. Sun, R. Hui, J. Roller, Cathode materials for solid oxide fuel cells: a review, J Solid State Electrochem, 2010 – 4, P. 1125–1144.
5. P. Ciambelli, S. Cimino, S. De Rossi, A FeO_3 ($\text{A} = \text{La}, \text{Nd}, \text{Sm}$) and La $\text{Fe}_{1-x}\text{Mg}_x\text{O}_3$ perovskites as methane combustion and CO oxidation catalysts: structural, redox and catalytic properties, Appl Catal B: Environmental, 2001 – 29, P. 239–250.
6. J. Ding, X. Lü, H. Shu, J. Xie, H. Zhang, Microwave-assisted synthesis of perovskite ReFeO_3 ($\text{Re}: \text{La}, \text{Sm}, \text{Eu}, \text{Gd}$) photocatalyst, Mater Sci Eng B, 2010 – 171, P. 31–34.
7. O. Pavlovská, L. Vasulechko, Crustal structure of solid solutions $\text{La}_{1-x}\text{R}_x\text{FeO}_3$ ($\text{R} = \text{Pr}, \text{Nd}$), Visnyk Lviv Polytechnic Natl University, 2016 – 818, P. 250–255.
8. L. Akselrud, Yu. Grin, WinCSD: software package for crystallographic calculations (Version 4), J. Appl. Cryst, 2014. – 47, P. 803–805.